

УДК 546.831+541.4

В.М. Погибко, В.В. Приседский, В.Г. Верещак

## МЕХАНИЗМ ТЕРМИЧЕСКОГО РАЗЛОЖЕНИЯ ОКСАЛАТНОГО ПРЕКУРСОРА $\text{BaZrO}_3$

Научно-технологический центр «Реактивэлектрон» НАН Украины, г. Донецк,  
Донецкий национальный технический университет  
ГВУЗ «Украинский государственный химико-технологический университет», г. Днепропетровск

Методами ДТА, ТГ, РФА, ИК-спектроскопии и рентгеновской флуоресцентной спектроскопии изучен механизм термического разложения оксалатного прекурсора  $\text{BaZrO}_3$  – гидрата триоксалатометатироконата бария  $\text{Ba}[\text{Zr}(\text{C}_2\text{O}_4)_3] \cdot 3\text{H}_2\text{O}$ . Показано, что разложение протекает по нескольким параллельным механизмам, что приводит к его фазовой сегрегации и разделению процесса синтеза перовскитовой фазы на низко- и высокотемпературную части.

Значительный интерес представляет использование смешанных карбацидокомплексов в качестве прекурсоров в синтезе материалов на основе сложных оксидов. Классическим примером является синтез высокочистого  $\text{BaTiO}_3$  из тетрагидрата диоксалатометатитаната бария  $\text{Ba}[\text{TiO}(\text{C}_2\text{O}_4)_2] \times 4\text{H}_2\text{O}$  [1]. Цирконат бария также привлекает внимание как компонент твердых растворов  $\text{BaTiO}_3-\text{BaZrO}_3$ , перспективных как релаксаторные материалы, не содержащие свинец [2]. Оксалатный метод позволяет получать нанокристаллические порошки перовскитовых оксидов [3–6].

Преимущество оксалатного метода полагают в том, что ионы металлов, которые должны войти в состав синтезируемого соединения, находятся в прекурсоре в необходимом стехиометрическом соотношении на предельном уровне смешения — атомно-молекулярном. Предложены многие схемы последовательных превращений при термолизе оксалатных прекурсоров титанатов и цирконатов, предполагающие сохранение заданного соотношения металлов на атомном уровне. Однако они не могут объяснить многие экспериментально наблюдаемые особенности синтеза. Так, считают [7,8], что при синтезе титаната бария образуются промежуточные соединения  $\text{Ba}[\text{TiO}(\text{CO})_2]$ ,  $\text{BaTiO}_5$ ,  $\text{Ba}[\text{TiO}_3(\text{CO})]$ ,  $\text{Ba}_2\text{Ti}_2\text{O}_5(\text{CO}_3)$ , существование которых экспериментально не доказано, а структуру в ряде случаев трудно объяснить.

Однозначной идентификации методами структурного анализа многих промежуточных продуктов термического разложения прекурсоров препятствует их аморфное состояние. В этой ситуации природа таких фаз как «оксикарбонат»  $\text{Ba}_2\text{Ti}_2\text{O}_5(\text{CO}_3)$  стала объектом многих гипотез.

© В.М. Погибко, В.В. Приседский, В.Г. Верещак, 2010

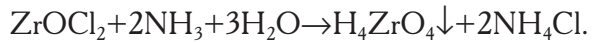
ческих интерпретаций. Детальные исследования методами трансмиссионной электронной микроскопии (ТЭМ) высокого разрешения, ТЭМ с энергетическим фильтром и спектроскопии энергетических потерь выявили в промежуточном продукте разложения ТОБ сегрегацию на фазы, богатые титаном и барием [9]. В предыдущих сообщениях нами показано, что термолиз оксалатных прекурсоров титанатов бария [4] и стронция [5] ведет к фазовой сегрегации и протекает по нескольким параллельным механизмам.

Опубликованные исследования термического разложения оксалатных прекурсоров цирконата бария немногочисленны. Сообщается о стадийной дегидратации оксалатоцирконатов бария, но дается лишь суммарная недетализированная схема синтеза цирконата бария [10,11].

Цель работы — изучение механизма термического разложения оксалатного прекурсора цирконата бария на основе результатов гравиметрического (ТГ) и дифференциально-термического (ДТА) анализов, рентгенофазового анализа (РФА), ИК-спектроскопии и рентгенофлуоресцентной спектроскопии (РФС).

### Экспериментальная часть

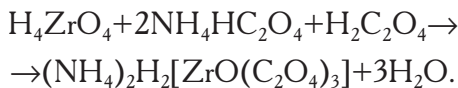
На первой стадии синтеза осаждали гидроксид циркония из растворов оксихлорида циркония (1,0–1,5 М) водным раствором аммиака (4,4–4,5 М):



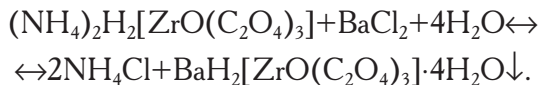
Полученный влажный осадок, содержащий 80–85% воды, отмывали от электролита дистиллированной водой в слое на воронке Бюхнера под вакуумом до отсутствия ионов  $\text{Cl}^-$  (по пробе с

$\text{AgNO}_3$ .

Гидроксид циркония полностью растворяется в щавелевокислых растворах лишь при образовании трехлигандного комплекса [12]:

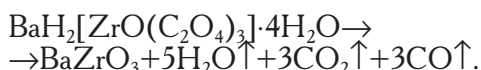


Величину  $\text{pH}$  поддерживали на уровне 3,5–4,5 с помощью раствора аммиака. В отфильтрованный раствор оксалатного комплекса — дигидротриоксалатоортокирконата аммония — приливали при температуре  $80^\circ\text{C}$  и интенсивном перемешивании 1,5 М раствор хлорида бария:



Эта реакция обратима, ее константа равновесия зависит от  $\text{pH}$  среды. Отличие примененного способа синтеза прекурсора от метода Клабо или Меркера [1] заключается в возможности точного регулирования  $\text{pH}$  осаждения в широком диапазоне его значений, что, следовательно, позволяет управлять константой равновесия реакции.

Полученный после фильтрации осадок отмывали на вакуумном фильтре дистиллированной водой до отсутствия хлорид-ионов. Отмытый осадок подвергали вакуумной сушке при  $T=100^\circ\text{C}$  и  $\Delta P=0,7 \text{ кГ/см}^2$ . В результате полной термодеструкции оксалатный прекурсор превращается в цирконат бария:



Измерение потери массы в этой реакции позволило заключить, что в результате частичной дегидратации после вакуумной сушки синтезированный прекурсор имеет состав  $\text{Ba}[\text{Zr}(\text{C}_2\text{O}_4)_3] \times 3,36\text{H}_2\text{O}$  — гидрат триоксалатометацирконата бария (TOЦ).

РФА проводили на дифрактометре ДРОН-3 в отфильтрованном  $\text{Cu K}_\alpha$  излучении. ИК-спектры снимали на спектрометре Brucker Tenzor № 27. Термический анализ (ДТА и ТГ) проводили на дериватографе Paulic-Paulic-Erdei. Рентгенофлуоресцентные спектры снимали на приборе СПРУТ-В, в качестве эталона использовали порошок циркония чистотой 99,99% и  $\text{ZrO}_2$  реактивной квалификации ОСЧ 5-3.

#### Результаты и обсуждение

Результаты дифференциального-термического и термогравиметрического анализов оксалатного прекурсора  $\text{BaZrO}_3$  (TOЦ) при двух скоростях нагрева показаны на рис. 1. Отчетливые перегибы на кривых ТГ (обозначенные буквами А–Ж), позволяют разделить процесс термического разложения на шесть стадий. Стадии АБ, БВ, а так-

же начальная часть стадии ВГ сопровождаются эндотермическими эффектами, а при  $625$  и  $885^\circ\text{C}$  наблюдаются экзотермические эффекты.

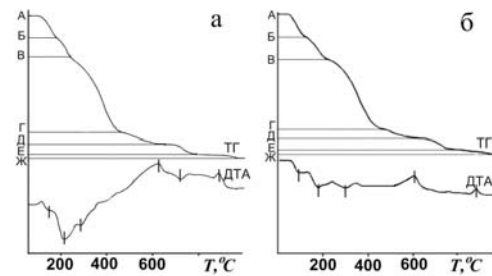


Рис. 1. ДТА и ТГ гидрата триоксалатометацирконата бария  $\text{Ba}[\text{ZrO}(\text{C}_2\text{O}_4)_3] \cdot 3,36\text{H}_2\text{O}$ . Скорость нагрева,  $^\circ\text{C}/\text{мин}$ : а – 10; б – 5

Обращает на себя внимание заметное различие более низкотемпературной (АГ,  $100$ – $450^\circ\text{C}$ ) и высокотемпературной ( $\Gamma\text{Ж}$ ,  $450$ – $1100^\circ\text{C}$ ) частей процесса. Если низкотемпературная часть отличается большими скоростями потери массы и эндотермическими эффектами, свидетельствующими о доминировании процессов разрыва связей, характерных для реакций разложения, то вторая, высокотемпературная часть протекает замедленно, растягивается на значительные интервалы температур, чем напоминает скорее диффузионно контролируемые твердофазные реакции синтеза.

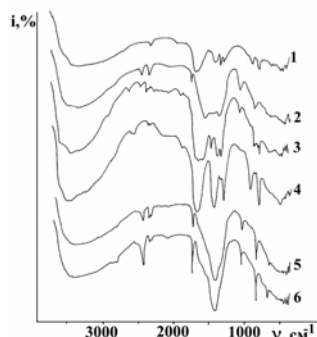


Рис. 2. ИК-спектры: 1 –  $\text{ZrOC}_2\text{O}_4$ ; 2 –  $\text{Ba}[\text{ZrO}(\text{CO}_3)_2]$ ; 3 –  $\text{Ba}[\text{ZrO}(\text{C}_2\text{O}_4)\text{CO}_3]$ ; 4 – прекурсора  $\text{Ba}[\text{ZrO}(\text{C}_2\text{O}_4)_3] \cdot 3,36\text{H}_2\text{O}$ ; продуктов термолиза  $\text{Ba}[\text{ZrO}(\text{C}_2\text{O}_4)_3]$  при температуре  $^\circ\text{C}$ : 5 –  $430$ ; 6 –  $500$ ; 7 –  $620$

На рис. 2 ИК-спектры  $\text{Ba}[\text{ZrO}(\text{C}_2\text{O}_4)_3] \cdot 3,36\text{H}_2\text{O}$  и продуктов его термического разложения сопоставлены для более наглядной интерпретации со спектрами специально синтезированных  $\text{ZrOC}_2\text{O}_4$ ,  $\text{Ba}[\text{ZrO}(\text{CO}_3)_2]$ ,  $\text{Ba}[\text{ZrO}(\text{C}_2\text{O}_4)\text{CO}_3]$ . Отнесение наблюдавшихся групповых полос поглощения представлено в табл. 1. При  $430^\circ\text{C}$  (в конце низкотемпературной части процесса) в продукте термолиза исчезают полосы поглощения оксалат-ионов при  $1650$ ,  $1310$  и  $990 \text{ см}^{-1}$  и видны неперекрывающиеся полосы карбонат-ионов при  $1750$  и  $1080 \text{ см}^{-1}$ . При  $1450 \text{ см}^{-1}$  видна сильная

Таблица 1

Отнесение групповых частот колебаний в спектрах ЦОБ и продуктов его термического разложения [12–15]

Атомная группа	Частота, см <sup>-1</sup>	Моды колебаний
$\text{C}_2\text{O}_4^{2-}$	750–990	две низкочастотные валентные
	1100–1600	три высокочастотные валентные
	1310–1320	деформационная
	1640–1650	валентная в цепочке $\text{C}_2$ в $\text{C}_2\text{O}_4^{2-}$
$\text{CO}_3^{2-}$	860–1080	две низкочастотные валентные
	1410–1450	высокочастотная валентная
	1700–1750	валентная группы CO
Перовскиты $\text{ABO}_3$	180–210	валентные колебания A–O
	410–450	низкочастотные деформационные B–O
	920–1010	низкочастотные валентные B–O
	1050–1200	высокочастотные деформационные B–O
	1420–1480	высокочастотные валентные B–O

полоса поглощения, соответствующая валентному колебанию  $\text{Zr}–\text{O}$  в октаэдре  $\text{ZrO}_6$ .

Подобный характер ИК-спектра не изменяется при дальнейшем повышении температуры до  $620^{\circ}\text{C}$ . Таким образом, уже по окончании этапа АГ процесса термолиза в образце не остается оксалат-ионов, появляется цирконатная перовскитовая фаза и остаются карбонат-ионы.

Этот вывод подтверждается и результатами рентгеновских исследований (рис. 3).

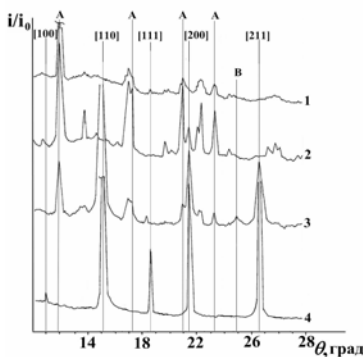


Рис. 3. Рентгеновские дифрактограммы продуктов термолиза  $\text{Ba}[\text{Zr}(\text{C}_2\text{O}_4)_3]$  при температуре,  $^{\circ}\text{C}$ : 1 — 430; 2 — 620; 3 — 750; 4 — 1100. Для линий перовскита показаны индексы Миллера, А — линии ромбоэдрического  $\text{BaCO}_3$ , В — линии  $\text{ZrO}_2$

При  $430^{\circ}\text{C}$  отмечены дифракционные пики

$\alpha\text{-BaCO}_3$ , при  $620^{\circ}\text{C}$  они усиливаются и появляются слабые отражения от перовскитовой фазы, при  $750^{\circ}\text{C}$  пики перовскита доминируют на дифрактограмме, но остаются достаточно сильные пики  $\alpha\text{-BaCO}_3$  и заметны дифракционные отражения от  $\alpha\text{-ZrO}_2$ . Рентгеновски однофазный перовскит  $\text{BaZrO}_3$  фиксируется на дифрактограмме уже при  $1100^{\circ}\text{C}$ .

Результаты количественных расчетов составов продуктов термического разложения ТОЦ из данных термогравиметрии с учетом результатов РФА и ИК-спектроскопии представлены в табл. 2 и 3. Эти результаты подтверждены также данными рентгенофлуоресцентной спектроскопии.

Как и в предыдущих работах [4,5], для удобства определения составов продуктов по величине потери массы при разложении рассчитывали приведенную массу  $M_{\text{пп}}$  — массу образца прекурсора или продуктов распада, соответствующую одному молю конечного продукта синтеза — цирконата бария. Сопоставление величины  $M_{\text{пп}}$  с молярными массами предполагаемых продуктов разложения позволяло наглядно анализировать возможные механизмы термического распада. При термодеструкции оксалатных прекурсоров в твердой фазе могут образоваться оксалаты, карбонаты, их окиспроизводные и оксиды, а в газовой фазе — вода, окись и закись углерода. Поэтому можно предположить, что в продуктах термодеструкции могут присутствовать соединения, представленные

Таблица 2

Составы промежуточных продуктов термического разложения  $\text{Ba}[\text{Zr}(\text{C}_2\text{O}_4)_3]\cdot3,36\text{H}_2\text{O}$  при скорости нагрева  $10^{\circ}\text{C}/\text{мин}$

Точка на ТГ	T, $^{\circ}\text{C}$	$\Delta m$ , мг	m, мг	$M_{\text{пп}}$	Состав
А	20	0	204	553,1	$\text{Ba}[\text{Zr}(\text{C}_2\text{O}_4)_3]\cdot3,36\text{H}_2\text{O}$
Б	152	15,4	188,6	511,4	$\text{Ba}[\text{Zr}(\text{C}_2\text{O}_4)_3]\cdot1,044\text{H}_2\text{O}$
В	216	29,3	174,7	473,5	$0,32\text{Ba}[\text{Zr}(\text{C}_2\text{O}_4)_3]+0,68\text{Ba}[\text{Zr}(\text{C}_2\text{O}_4)_2\text{CO}_3]$
Г	455	83,8	120,2	325,8	$\alpha\text{-BaCO}_3+0,762\text{ZrO}_2(\text{ам.})+0,119\text{Zr}_2\text{O}_3\text{CO}_3$
Д	654	90,8	113,1	306,9	$0,371\text{BaZrO}_3+0,629\beta\text{-BaCO}_3+0,391\alpha\text{-ZrO}_2+0,05095\text{Zr}_4\text{O}_7\text{CO}_3$
Е	860	98,7	105,3	286,1	$0,741\text{BaZrO}_3+0,259\beta\text{-BaCO}_3+0,259\alpha\text{-ZrO}_2$
Ж	1055	102,0	102,0	276,55	$\text{BaZrO}_3$

## Механизм термического разложения оксалатного прекурсора BaZrO<sub>3</sub>

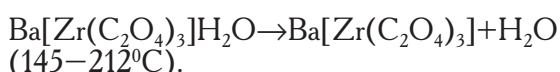
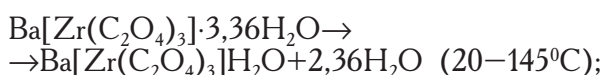
Таблица 3

**Составы промежуточных продуктов термического разложения Ba[Zr(C<sub>2</sub>O<sub>4</sub>)<sub>3</sub>]·3,36H<sub>2</sub>O при скорости нагрева 5°C/мин**

Точка на ТГ	T, °C	Δm, мг	m, мг	M <sub>пп</sub>	Состав
A	20	0	196	553,1	Ba[Zr(C <sub>2</sub> O <sub>4</sub> ) <sub>3</sub> ]·3,36H <sub>2</sub> O
Б	145	14,7	181,3	511,5	Ba[Zr(C <sub>2</sub> O <sub>4</sub> ) <sub>3</sub> ]·1,048H <sub>2</sub> O
В	212	31,2	164,8	465,0	0,014Ba[Zr(C <sub>2</sub> O <sub>4</sub> ) <sub>3</sub> ]·0,986Ba[Zr(C <sub>2</sub> O <sub>4</sub> ) <sub>2</sub> CO <sub>3</sub> ]
Г	450	77,9	118,1	326,7	α-BaCO <sub>3</sub> +0,721ZrO <sub>2</sub> (ам)+0,1395Zr <sub>2</sub> O <sub>3</sub> CO <sub>3</sub>
Δ	635	83,5	112,5	311,0	0,286BaZrO <sub>3</sub> +0,714α-BaCO <sub>3</sub> +0,435α-ZrO <sub>2</sub> +0,06975 Zr <sub>4</sub> O <sub>7</sub> CO <sub>3</sub>
Е	845	91,7	102,3	288,7	0,709BaZrO <sub>3</sub> +0,291β-BaCO <sub>3</sub> +0,291β-ZrO <sub>2</sub>
Ж	1040	96,0	100,0	276,55	BaZrO <sub>3</sub>

в табл. 4.

Из результатов термогравиметрии видно, что удаление воды из образца протекает в две стадии, АБ и БВ:



Этот вывод соответствует результатам структурных исследований [10,11], согласно которым молекулы воды в триоксалатоцирконатах ЩЗЭ (Me) по-разному координируются между и внутри слоев, образованных полиздрами ZrO<sub>8</sub> и MeO<sub>8</sub>.

На стадии БВ одновременно происходит разложение первой из трех оксалат-групп:



Таблица 4

**Возможные промежуточные продукты термического распада Ba[Zr(C<sub>2</sub>O<sub>4</sub>)<sub>3</sub>]·3,36H<sub>2</sub>O**

Соединение	Молярная масса, г/моль
Ba[Zr(C <sub>2</sub> O <sub>4</sub> ) <sub>3</sub> ]H <sub>2</sub> O	510,625
Ba[Zr(C <sub>2</sub> O <sub>4</sub> ) <sub>3</sub> ]	492,610
Ba[Zr(C <sub>2</sub> O <sub>4</sub> ) <sub>2</sub> CO <sub>3</sub> ]	464,599
Ba[ZrO(C <sub>2</sub> O <sub>4</sub> ) <sub>2</sub> ]	410,593
Ba[ZrO(C <sub>2</sub> O <sub>4</sub> )CO <sub>3</sub> ]	392,578
BaC <sub>2</sub> O <sub>4</sub> +½Zr <sub>2</sub> O <sub>3</sub> CO <sub>3</sub>	370,584
Ba[ZrO(CO <sub>3</sub> ) <sub>2</sub> ] или (BaCO <sub>3</sub> +ZrOCO <sub>3</sub> )	364,567
Ba[ZrO <sub>2</sub> C <sub>2</sub> O <sub>4</sub> ] или (BaO+ZrOC <sub>2</sub> O <sub>4</sub> )	348,578
BaCO <sub>3</sub> +½Zr <sub>2</sub> O <sub>3</sub> CO <sub>3</sub>	342,573
BaCO <sub>3</sub> +¼Zr <sub>4</sub> O <sub>7</sub> CO <sub>3</sub>	331,570
Ba[ZrO <sub>2</sub> CO <sub>3</sub> ] или BaCO <sub>3</sub> +ZrO <sub>2</sub>	320,558
BaZrO <sub>3</sub>	276,548

Стадия ВГ (215–450°C) охватывает большую часть потери массы ТОЦ в результате удаления или превращения групп лигантов. Как оксалат-ионы, так и образующиеся при их распаде карбонат-ионы координированы ковалентными свя-

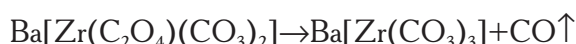
зями через атомы кислорода, образуя однотипные цепочки Zr—O—C—. Поэтому вероятности распада координированных ионов C<sub>2</sub>O<sub>4</sub><sup>2-</sup> и CO<sub>3</sub><sup>2-</sup> сопоставимы, что создает условия для протекания разложения ТОЦ по нескольким параллельным реакциям.



или



Термическое разложение Ba[\text{Zr}(\text{C}\_2\text{O}\_4)(\text{CO}\_3)\_2] происходит по двум параллельным реакциям:



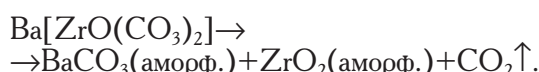
или



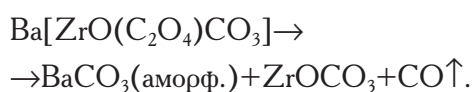
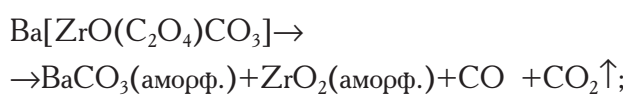
Такой же продукт даст разложение промежуточного Ba[\text{ZrO}(\text{C}\_2\text{O}\_4)\_2]:



Дальнейший распад Ba[\text{Zr}(\text{CO}\_3)\_3] приводит к образованию BaCO<sub>3</sub> и ZrO<sub>2</sub>:

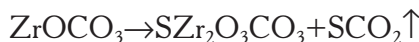


Ba[\text{ZrO}(\text{C}\_2\text{O}\_4)\text{CO}\_3], образовавшийся по второй реакции, в свою очередь также распадается по двум реакциям:



Именно на этой стадии происходит сегрегация на барий и цирконий содержащие фазы. С химической точки зрения принципиальное отличие состоит в том, что теперь  $\text{CO}_3^{2-}$  – единственный источник летучих продуктов в дальнейшем разложении – находится не в ковалентно координированном состоянии, а входит в ионную кристаллическую решетку. С этим связано резкое замедление дальнейшего протекания процесса термического распада.

В точке Г кривой ТГ весь барий по данным гравиметрии, рентгенографии и ИКС находится в виде карбоната, а цирконий более чем на 70% находится в виде  $\text{ZrO}_2$ . Раствор после выщелачивания образца имеет  $\text{pH}=7,5$ . Значение  $\text{pH}$  указывает на то, что в продукте распада отсутствует свободный оксид бария. Приведенная масса продукта разложения ТОЦ в точке Г составляет  $M_{\text{пр}}=325,8$  г/моль. Это значение находится между приведенными массами ( $\text{BaCO}_3+\text{ZrO}_2$ ) и ( $\text{BaCO}_3+\text{Sr}_2\text{O}_3\text{CO}_3$ ), что свидетельствует о возможности потери  $\text{CO}_2$  за счет дальнейшего разложения оксикарбонатов:



и далее:



Существование подобных оксикарбонатов циркония, аналогичных оксикарбонатам титана [6], установлено экспериментально [16].

Низкая интенсивность линий ромбического  $\alpha\text{-BaCO}_3$  и отсутствие линий  $\text{ZrO}_2$  на дифрактограмме продуктов распада при  $620^\circ\text{C}$  указывает на то, что на этой стадии эти вещества находятся преимущественно в рентгеноаморфном состоянии. Не исключено и частичное образование аморфной перовскитовой фазы. Термический распад комплексного соединения прекурсора сменяется реакцией синтеза перовскитовой фазы.

На второй, растянутой по температуре части (ГЖ) процесса термообработки ТОЦ выделяются две волны более быстрой потери массы (рис. 1). На стадии ГД, при сравнительно низких температурах происходит быстрое образование перовскитовой фазы – кристаллического цирконата бария:



Значительная скорость реакции объясняется малым размером частиц. Содержание  $\text{BaZrO}_3$  при  $650^\circ\text{C}$  (точка Д) при разных скоростях нагрева составляет 27 и 39%. Повышение температуры еще на  $\sim 200^\circ\text{C}$  (на стадии ДЕ) приводит к увеличению выхода  $\text{BaZrO}_3$  только до 70–74%, т.е. примерно на столько же, как и в предыдущем

200-градусном интервале. Однако и на этой стадии, в области  $700\text{--}750^\circ\text{C}$  наблюдается заметное ускорение термолиза (рис. 1).

РФА (рис. 3) показывает, что до  $750^\circ\text{C}$  происходят фазовые переходы:  $\alpha\text{-BaCO}_3 \rightarrow \beta\text{-BaCO}_3$  (ромбический  $\rightarrow$  гексагональный) и  $\alpha\text{-ZrO}_2 \rightarrow \beta\text{-ZrO}_2$  (моноклинный  $\rightarrow$  тетрагональный). Известно, что вблизи температуры фазовых переходов кристаллическая решетка теряет устойчивость, что приводит к резкому увеличению химической активности твердого вещества. Именно этим обстоятельством можно объяснить ускорение реакции синтеза перовскита при  $700\text{--}750^\circ\text{C}$ .

Особенно значительным выглядит снижение температуры фазового перехода  $\alpha \rightarrow \beta$  в  $\text{ZrO}_2$ , который обычно происходит при  $1172^\circ\text{C}$ . Понижение температуры фазового перехода связано с дисперсным состоянием вещества. Согласно [17] размер частиц с пониженной температурой перехода можно оценить по уравнению:

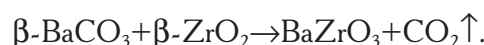
$$d = 3\pi/[4(1 - T_{f(d)}/T_f)k_\infty],$$

где  $T_{f(d)}$  и  $T_f$  – температуры фазового перехода для кристалла размером  $d$  и бесконечного кристалла соответственно,  $k_f$  – волновое число собственных колебаний атомной цепочки  $-\text{Zr}-\text{O}-\text{Zr}-\text{O}-$  для бесконечного кристалла:

$$k_\infty = (6\pi^2 N_A / V_M)^{1/3},$$

где  $V_M$  – молярный объем кристалла. Оценочный размер частиц разложения прекурсора при  $750^\circ\text{C}$  лежит в нанодиапазоне: для  $\text{BaCO}_3$  – 5 нм, а  $\text{ZrO}_2$  – 2,5 нм.

На стадии ДЕ в продукте термолиза остаются, кроме  $\text{BaZrO}_3$ , только  $\text{BaCO}_3$  и  $\text{ZrO}_2$ . Уже после первой, низкотемпературной волны ускоренного образования перовскитовой фазы, при  $650^\circ\text{C}$   $\text{BaCO}_3$  находится, судя по РФА, в кристаллическом состоянии. Рост зерен  $\text{BaCO}_3$  и  $\text{ZrO}_2$  приводит к снижению их химической активности и снижает дальнейшую скорость твердофазного синтеза перовскитовой фазы. В результате полный синтез цирконата бария (стадия ЕЖ) завершается выше  $1000^\circ\text{C}$ :



Таким образом, термическое разложение оксалатного прекурсора цирконата бария – гидрата триоксалатоцирконата бария – в полтермическом режиме протекает по нескольким параллельным механизмам и приводит к фазовой сегрегации прекурсора. Синтез перовскитовой фазы начинается при значительно более низких температурах, чем по традиционной керамической технологии, однако полное завершение синтеза может затягиваться до значительно более высоких температур.

**СПИСОК ЛИТЕРАТУРЫ**

1. Clabaugh W.S., Swiggard E.M., Gilchrist R. Preparation of Barium Titanyl Oxalate Tetrahydrate for Conversion to Barium Titanate of High Purity // J. Res. Natl. Bur. Std. – 1956. – Vol.56. – № 5. – Р.289-291.
2. Dash M.S., Bera J., Ghosh S. Study on phase formation and sintering kinetics of BaTi<sub>0.6</sub>Zr<sub>0.4</sub>O<sub>3</sub> powder synthesized through modified chemical route // Alloys and Compounds. – 2007. – Vol.430. – Р.212-216.
3. Рагуля А.В., Васильків О.О., Скороход В.В. Синтез и спекание нано-кристаллического порошка титаната бария в неизотермических условиях. I. Управление дисперсностью титаната бария в процессе его синтеза из титанил-оксалата бария // Порошковая металлургия. – 1997. – № 3/4. – С.59–65.
4. Погибко В.М., Приседский В.В., Сидак И.Л. Исследование механизмов термического распада оксалатного прекурсора титаната бария // Вопр. химии и хим. технологии. – 2010. – № 1. – С.110-115.
5. Погибко В.М., Приседский В.В. Механизм термической деструкции титанилоксалата стронция // Наукові праці ДонНТУ. Сер. Хімія і хімічні технології. – 2008. – Вип.137. – № 11. – С.40-44.
6. Механизм термического разложения титанилоксалата / В.М. Погибко, В.В. Приседский, И.Л. Сидак, В.Г. Верещак // Наукові праці ДонНТУ. Сер. Хімія і хімічні технології. Донецьк: ДонНТУ. – 2010. – Вип.162. – № 14. – С.48-52.
7. Gallagher P.K., Schrey F. Thermal decomposition of some substituted barium titanyl oxalates and its effect on the semiconducting properties of the doped materials // J. Amer. Ceram. Soc. – 1963. – Vol.46. – № 12. – Р.567-573.
8. Simplified chemical route for the synthesis of barium titanyl oxalate (BTO) / Potdar H.S., Deshpande S.B., Deshpande A.S., Khollam Y.B., Patil A.J., Pradhan S.D., Date S.K. // International J. of Inorganic Materials. – 2001. – № 3. – Р.613-623.
9. Barium titanate via thermal decomposition of Ba,Ti – precursor complexes: The nature of the intermediate phases / Ischenko V., Pippel E., Küferstein R. et al. // Solid State Sciences. – 2007. – Vol.9. – Р.21-26.
10. Gavilan E., Audebrand N., Jeanneau E. A new series of mixed oxalates MM'(C<sub>2</sub>O<sub>4</sub>)<sub>3</sub>(H<sub>2</sub>O)<sub>3</sub>·nH<sub>2</sub>O based on eight-fold coordinated metals // Solid State Sci. – 2007. – № 9. – Р.985-999.
11. New alkaline earth-zirconium oxalates M<sub>2</sub>Zr(C<sub>2</sub>O<sub>4</sub>)<sub>4</sub>·xH<sub>2</sub>O / B. Chapelet-Arab, G. Novogrocki, F. Abraham, S. Grandjean // J. Solid State Chem. – 2004. – Vol.177. – Р.4269-4281.
12. Лимарь Т.Ф., Азарова Е.М. Об условиях образования цирконилюксалата аммония в водных растворах // Журн. неорг. химии. – 1965. – Т.10. – № 2. – С.398-402.
13. Morrison P., Boyd P. Органическая химия. – М.: Мир, 1974. – 1132 с.
14. К вопросу получения гидроокиси титана из сульфата титанила и аммония / Лимарь Т.Ф., Иванова Л.В., Чередниченко И.Ф., и др. // Разработка и получение материалов для электронной техники. – М.: НИИТЭХИМ, 1983. – С.28-35.
15. Trautmann Thomas, Falter Claus. Lattice dynamics, dielectric properties and structural instabilities of SrTiO<sub>3</sub> and BaTiO<sub>3</sub> // J. Phys.: Condens. Matter, 2004. – Vol.16. – Р.5955-5977
16. Блюменталь У.Б. Химия циркония. – М.: Иностранный литература, 1962. – 342 с.
17. Петров Ю.И. Физика малых частиц. – М.: Наука, 1982. – 369 с.

Поступила в редакцию 27.09.2010